



# БИООРГАНИЧЕСКАЯ ХИМИЯ

Том 18 \* № 7 \* 1992

УДК 547.814:577.161

© 1992 г. Е. И. Захарова, К. А.-В. Шуапов, В. В. Чудинова,  
С. М. Алексеев, Р. П. Евстигнеева

## ПРОДУКТЫ ТРАНСФОРМАЦИИ ВИТАМИНА Е И ЕГО АНАЛОГА — ХРОМАНА С<sub>1</sub> В СРЕДЕ ОКИСЛЯЮЩЕГОСЯ ЭТИЛЛИНОЛЕАТА

Московский институт тонкой химической технологии им. М. В. Ломоносова

Окислением  $\alpha$ -токоферола и хромана С<sub>1</sub> феррицианидом калия и хлоридом железа получены спиродимеры, димеры, хиноны  $\alpha$ -токоферола и хромана С<sub>1</sub>. Методами ВЭЖХ, ТСХ, УФ-, ИК- и <sup>1</sup>Н-ЯМР-спектроскопии проведена идентификация продуктов окислительной трансформации  $\alpha$ -токоферола и хромана С<sub>1</sub> в среде этилового эфира линолевой кислоты и ионана: спиродимеров, димеров, хинонов и тримеров, образующихся при мягком окислении кислородом воздуха. На основании полученных данных обсужден механизм трансформации и модифицирующего действия хроманов в различных условиях окисления.

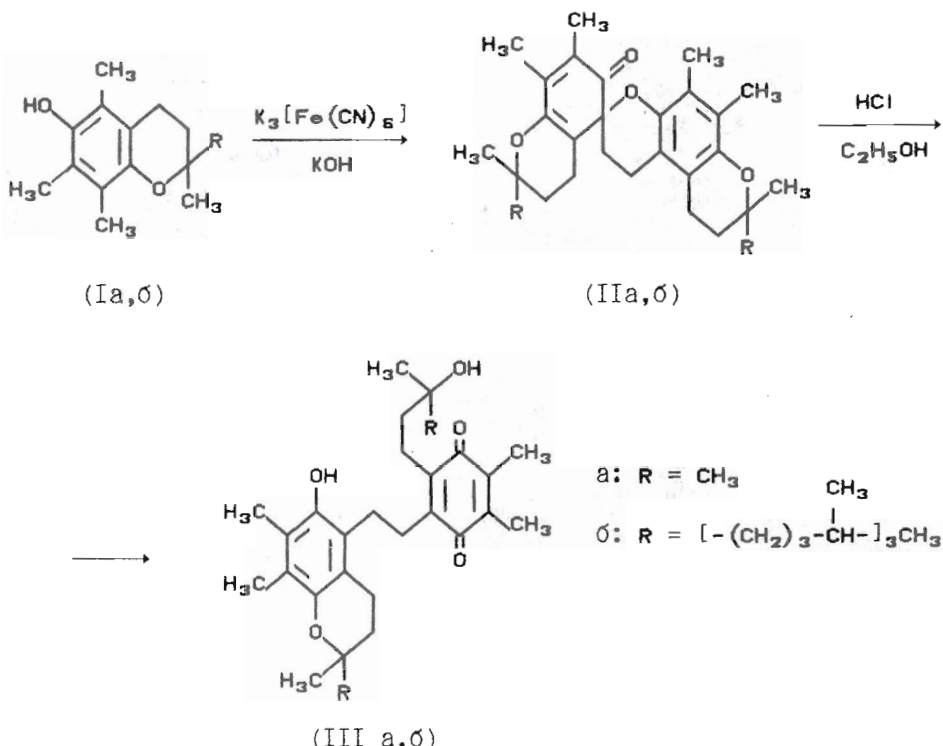
Витамин Е ( $\alpha$ -токоферол) — природный антиоксидант, взаимодействуя со свободными радикалами, образующимися в результате перекисного окисления липидов, или окислителями, дает различные соединения: димеры, тримеры, хиноны [1]. Для выяснения вопроса о том, какие продукты трансформации витамина Е и его аналогов образуются в модельных системах перекисного окисления липидов [2], нами были синтезированы известные димеры и хиноны простейшего аналога витамина Е — хромана С<sub>1</sub> (2,2,5,7,8-пентаметилхроман-6-ола) (Ia) и  $\alpha$ -токоферола (Ib) [1, 3].

Окислением хромана С<sub>1</sub> (Ia) и  $\alpha$ -токоферола (Ib) в двухфазной системе щелочным раствором феррицианида калия (схема 1) [3] получены спиродимер хромана С<sub>1</sub> (IIa) и соответствующий спиродимер  $\alpha$ -токоферола (IIb). Следует отметить, что для образования спиродимера  $\alpha$ -токоферола (IIb) требуется более длительное время по сравнению со спиродимером (IIa), что, вероятнее всего, объясняется энтропийными факторами. Кроме того, наблюдается низкая стабильность полученных соединений (IIa) и (IIb). Уже в исходных реакционных массах наряду с основными продуктами (IIa) и (IIb), окрашенными в интенсивный желтый цвет, образуется некоторое количество более полярных побочных соединений. При подкислении реакционных масс спиродимеров (IIa) и (IIb) соляной кислотой до pH 1 их цвет меняется с желтого на коричневый, а на ТСХ наблюдается преобладание указанных полярных соединений.

Подкислением спиртовых растворов спиродимеров (IIa) и (IIb) 5% соляной кислотой были получены эти полярные вещества — димеры (IIIa) и (IIIb) (схема 1). В кислых условиях происходит размыкание простой эфирной связи между двумя хромановыми ядрами соединений (IIa) и (IIb), а также окисление одного из двух хромановых ядер вышеуказанных соединений, причем этот процесс для спиродимера (IIb) осуществляется быстрее, чем для аналога (IIa), но с меньшим выходом за счет образования неидентифицированных продуктов деструкции.

3,5,6-Триметил-2-(3'-гидрокси-3'-метилбутил)бензохинон-1,4 (IVa) и  $\alpha$ -токоферилхинон (IVb) были получены окислением хромана С<sub>1</sub> (Ia) и  $\alpha$ -токоферола (Ib) соответственно хлоридом железа (III) в метаноле по извест-

Схема 1

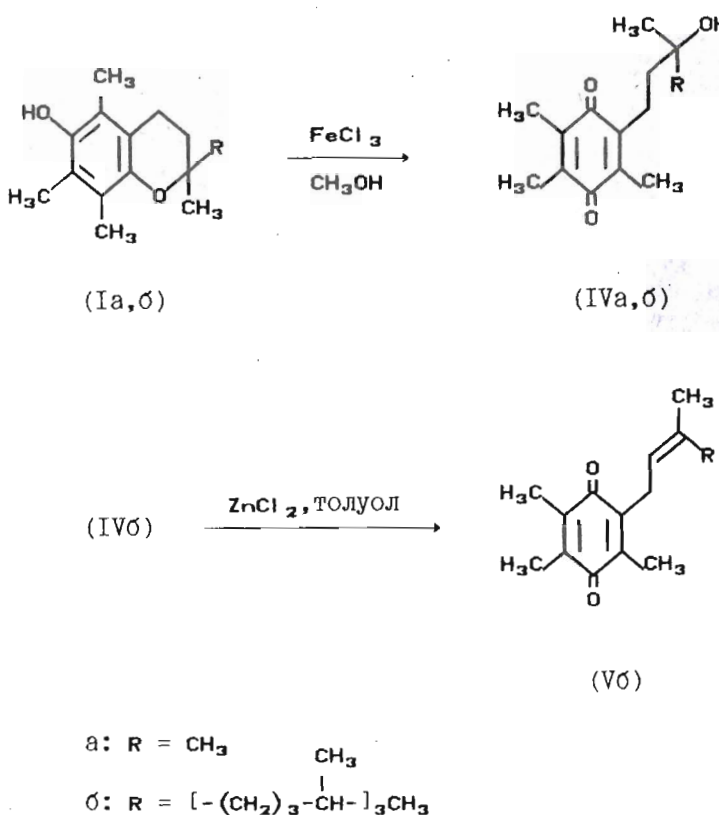


ной методике [3] (схема 2). Процесс окисления идет в этих условиях быстро и с почти количественным выходом.

Для синтеза еще одного продукта окислительной деградации  $\alpha$ -токоферола — 3,5,6- trimethyl-2-(3,7,11,14 - тетраметилгексадец-2 - ен-1-ил)бензохинона-1,4 (V $\delta$ ) — была проведена дегидратация  $\alpha$ -токоферилхинона (IV $\delta$ ) кипячением в толуоле в присутствии хлорида цинка в условиях непрерывной отгонки воды, образующейся в ходе реакции, с парами растворителя (схема 2).

Структура и индивидуальность соединений (IIa — IVa) и (II $\delta$  — IV $\delta$ ) были подтверждены данными ИК-, УФ-,  $^1H$ -ЯМР-спектроскопии (см. табл. 1 и 2), ТСХ, ВЭЖХ и элементного анализа (см. табл. 3, 4). К сожалению, полную интерпретацию спектров  $^1H$ -ЯМР провести не удалось, так как в спектрах ряда соединений наблюдаются сложные и перекрывающиеся сигналы. Однако сравнение  $^1H$ -ЯМР, ИК- и УФ-спектров (IIa — IVa) и (II $\delta$  — IV $\delta$ ) позволило установить структуры всех синтезированных соединений. Так, в спектре  $^1H$ -ЯМР хинона (IVa) наблюдаются сигналы метильных протонов, связанных с алифатической цепью ( $\delta$  1,28 м.д.), два сигнала метильных протонов, связанных с хиноидной структурой ( $\delta$  2,00 и 2,04 м.д.), сигнал спиртового гидроксильного протона ( $\delta$  1,80 м.д.), а также два мультиплета группы  $-CH_2-CH_2-$  ( $\delta$  1,50 и 2,58 м.д.), характерные для спиновой системы AA'XX'. В ИК-спектре хинона (IVa) наблюдаются полосы, характерные для его функциональных групп ( $\nu$ ,  $cm^{-1}$ ): OH (3450), C=O (1640, 1620), а в УФ-спектре отмечено два максимума поглощения при 268 и 260 нм, что характерно для *n*-хиноидной структуры.

Схема 2



В  $^1\text{H}$ -ЯМР-спектре димера (IIIa) по сравнению со спектром хинона (IVa) появляются два дополнительных сигнала метильных групп, связанных с ароматическим ядром ( $\delta$  2,09 и 2,18 м.д.), сигнал фенольного протона ( $\delta$ ,03 м.д.) и два триплета метиленовых групп хроманового ядра ( $\delta$  1,80 и 2,75 м.д.). Сигнал метиленового мостика ( $\delta$  2,60 м.д.) наблюдается в виде синглета, что обусловлено, по-видимому, магнитной эквивалентностью этих двух метиленовых групп. В ИК-спектре димера (IIIa) в отличие от спектра хинона (IVa) наблюдаются две полосы — 3500 и  $3370 \text{ см}^{-1}$ , указывающие на присутствие фенольного и спиртового гидроксилов, а в УФ-спектре наряду с  $\lambda_{\text{макс}} 269,9$  и  $262,2 \text{ нм}$  имеется полоса поглощения с  $\lambda_{\text{макс}} 295,0 \text{ нм}$ , свидетельствующая о наличии хроманового ядра.

Для спиродимера (IIa) сравнительно с димером (IIIa) в  $^1\text{H}$ -ЯМР-спектре отсутствует сигнал фенольного протона. О димерной структуре соединения (IIa) говорит наличие четырех сигналов метильных протонов ароматической и хиноидной структуры ( $\delta$  1,80; 2,00; 2,15 и 2,20 м.д.). В ИК-спектре спиродимера (IIa) по сравнению со спектром димера (IIIa) отсутствует полоса, характерная для фенольного и спиртового гидроксилов, а в УФ-спектре наблюдаются два максимума с  $\lambda_{\text{макс}} 297,5$  и  $347,3 \text{ нм}$ , характерные для хромановой и хиноидной структур.

Таблица 1

Спектральные характеристики продуктов окислительной трансформации хромана С<sub>1</sub>

Соединение	УФ-спектр (метанол) макс., нм (E <sub>1</sub> <sup>1%</sup> см)	ИК-спектр, ν, см <sup>-1</sup>	<sup>1</sup> Н-ЯМР-спектр (CDCl <sub>3</sub> ), δ, м. д.
Спиродимер хромана С <sub>1</sub> (IIa) *	297,5 (80,7) 347,3 (29,9)	2900, 1650, 1590, 1460, 1375, 1260. 1080	1,28 (6H, с, 2,2'-CH <sub>3</sub> ), 1,30 (6H, с, 2,2'-CH <sub>3</sub> ), 1,70 (6H, т, J 7 Гц, 3,3',2"-H), 1,80 (3H, с, CH <sub>3</sub> ), 2,00 (3H, с, CH <sub>3</sub> ), 2,15 (3H, с, CH <sub>3</sub> ), 2,20 (3H, с, CH <sub>3</sub> ), 2,50 (6H, м, 4,4',1"-CH <sub>2</sub> )
Димер хромана С <sub>1</sub> (IIIa) **	269,9 (318,2) 262,0 (293,3) 295,0 (76,4)	3500, 3370, 2900, 1630, 1620, 1540, 1460, 1375, 1320, 1275, 1170, 1080	1,27 (6H, с, 2,3"-CH <sub>3</sub> ), 1,58 (3H, м, 2"-CH <sub>2</sub> , 3"-OH), 1,80 (2H, т, J 7 Гц, 3-H), 2,02 (3H, с, CH <sub>3</sub> ), 2,04 (3H, с, CH <sub>3</sub> ), 2,09 (3H, с, CH <sub>3</sub> ), 2,18 (3H, с, CH <sub>3</sub> ), 2,60 (4H, с, -CH <sub>2</sub> -CH <sub>2</sub> -), 2,62 (2H, м, 1"-CH <sub>2</sub> ), 2,75 (2H, т, J 7 Гц, 4-H), 6,03 (1H, с, OH)
Хинон (IVa) ***	268,0 (481,6) 260,0 (463,8)	3450, 2900, 1620, 1460, 1370, 1300, 1140	1,28 (6H, с, 3',3"-CH <sub>3</sub> ), 1,50 (2H, м, 2"-CH <sub>2</sub> ), 1,80 (1H, с, OH), 2,00 (6H, с, 5,6-CH <sub>3</sub> ), 2,04 (3H, с, 3-CH <sub>3</sub> ), 2,58 (2H, м, 1"-CH <sub>2</sub> )

\* Нумерация без индекса и со штрихом относится соответственно к двум хромановым ядрам, с двумя штрихами — к этиленовому соединительному мостику.

\*\* Нумерация без индекса относится к хромановому ядру, со штрихом — к хиноновому ядру, с двумя штрихами — к боковой цепи.

\*\*\* Нумерация без индекса относится к хиноновому ядру, со штрихом — к боковой цепи.

В спектрах <sup>1</sup>Н-ЯМР продуктов окислительной деградации  $\alpha$ -токоферола (IIб — IVб) в отличие от спектров соединений (IIа — IVа) (см. табл. 1 и 2) имеются дополнительные сигналы, соответствующие протонам изопреноидной цепи.

В <sup>1</sup>Н-ЯМР-спектре хинона (Vб) наряду с сигналами метильных протонов, связанных с алифатической цепью ( $\delta$  1,20 м. д.) и хиноидной структурой ( $\delta$  2,00 и 2,02 м. д.), имеющимися в спектре  $\alpha$ -токоферилхинона (IVб), появляются дополнительные сигналы метильной группы при двойной связи ( $\delta$  1,62 и 1,70 м. д.), два сигнала метиленовых групп при двойной связи ( $\delta$  1,90 и 3,20 м. д.) и одного протона при двойной связи в виде триплета ( $\delta$  4,90 м. д.). В ИК-спектре соединения (Vб) по сравнению со спектром  $\alpha$ -токоферилхинона (IVб) отсутствует полоса, характерная для спиртового гидроксила (3450 см<sup>-1</sup>), а в УФ-спектрах вышеуказанных соединений имеются два максимума поглощения при 268,1 и 260,0 нм для хинона (IVб) и 265,9 и 257,5 нм для гомолога (Vб), что характерно для *n*-хиноидной структуры.

На рис. 1 и 2 представлены результаты ВЭЖХ-анализа продуктов окислительной трансформации хромана С<sub>1</sub> и  $\alpha$ -токоферола, образующихся при окислении этиллиноволеата. Сравнение данных ВЭЖХ-анализа, полученных направляемым синтезом соединений (IIа — IVа) и (IIб — IVб), с хроматограммами исследованных реакционных масс позволило сделать предположение, что в модельных системах окисления этиллиноволеата в присутствии хроманов (Iа) и (Iб) последние расходуются, превращаясь в соответствующие димеры (IIа, IIа) и (IIб, IIIб) и хиноны (IVа, б, Vб). Проведение совместных ВЭЖХ-анализов реакционных масс с синтезированными соединениями (IIа — IVа) и (IIб — IVб), а также выделение этих соединений из окисленных смесей методом препаративной ВЭЖХ и сопоставле-

Таблица 3

Спектральные характеристики продуктов окислительной трансформации  $\alpha$ -токоферола

Соединение	УФ-спектр (метанол) $\lambda_{\text{макс.}}$ , нм ( $E^{\perp}$ , см)	ИК-спектр, $\nu$ , см $^{-1}$	$^1\text{H-NMR}$ -спектр * ( $\text{CDCl}_3$ ), $\delta$ , м. д.
Спиродимер $\alpha$ -токоферола (IIб)	300,3 (32,6) 340,3 (14,3)	2900, 1650, 1550, 1460, 1370, 1250, 1090	0,90 (24Н, м, $\text{CH}_3$ ), 1,30 (48Н, м, $\text{CH}_2$ , $2,2'\text{-CH}_2$ ), 1,60 (6Н, м, $3,3',2''\text{-CH}_2$ ), 1,90 (3Н, с, $\text{CH}_3$ ), 2,00 (3Н, с, $\text{CH}_3$ ), 2,10 (3Н, с, $\text{CH}_3$ ), 2,15 (3Н, с, $\text{CH}_3$ ), 2,50 (6Н, м, 4', $1''\text{-CH}_2$ )
Димер $\alpha$ -токоферола (IIIб)	269,9 (164,0) 263,0 (157,0) 293,0 (43,0)	3400, 3320, 2900, 1700, 1640, 1530, 1460, 1370, 1310, 1250, 1150, 1090	0,80 (24Н, м, $\text{CH}_3$ ), 1,30 (46Н, м, $\text{CH}_2$ , $2,3''\text{-CH}_3$ ), 1,55 (5Н, м, 4'', $2''\text{-CH}_2$ , $3''\text{-OH})$ , 1,80 (2Н, т, $J$ 7 Гц, 3-Н), 2,02 (3Н, с, $\text{CH}_3$ ), 2,05 (3Н, с, $\text{CH}_2$ ), 2,10 (3Н, с, $\text{CH}_3$ ), 2,20 (3Н, с, $\text{CH}_3$ ), 2,65 (6Н, м, $-\text{CH}_2\text{CH}_2-$ , 4'', $1''\text{-CH}_2$ ), 2,75 (2Н, т, $J$ 7 Гц, 4-Н), 6,10 (1Н, с, OH)
$\alpha$ -Токоферилхинон (IVб)	268,1 (341,3) 260,0 (336,0)	3450, 2900, 1630, 1450, 1370, 1300, 1140	0,80 (12Н, м, $\text{CH}_3$ ), 1,20 (22Н, м, $\text{CH}_2$ , $3'\text{-CH}_3$ ), 1,50 (5Н, м, 2', $4'\text{-CH}_2$ , 3'-OH), 2,00 (6Н, с, $\text{CH}_3$ ), 2,02 (3Н, с, $\text{CH}_3$ ), 2,55 (2Н, м, 1'- $\text{CH}_2$ )
Хинон (Vб)	265,9 (486,0) 257,5 (483,1)	2900, 1730, 1630, 1450, 1295, 1000	0,80 (12Н, м, $\text{CH}_3$ ), 1,20 (19Н, м, $\text{CH}_2\text{CH}_2$ ), 1,62 и 1,70 (3Н, с, 3'- $\text{CH}_3$ , E/Z), 1,90 (2Н, т, $J$ 7 Гц, 4'-Н), 2,00 (6Н, с, $\text{CH}_3$ ), 2,02 (3Н, с, $\text{CH}_3$ ), 3,20 (2Н, д, $J$ 7 Гц, 1'-Н), 4,90 (2Н, т, 7 Гц, 2'-Н)

\* См. примечания к табл. 1.

Таблица 3

Физико-химические характеристики продуктов окислительной трансформации хромана С<sub>4</sub>

Соединение	$T_{\text{CH}}$ $R_f$ (A)	T. пд., °C	ВЭЖХ (B) $t_{\text{отн.}}$ мин	Найдено, %		Брутто- формула	Вычислено, %	
				C	H		C	H
(Ia)	0,62	99–100	4,3	75,25	8,82	$\text{C}_{28}\text{H}_{36}\text{O}_4$	76,70	8,71
(IIa)	0,28	153,5–154,5	2,6	73,07	8,47	$\text{C}_{28}\text{H}_{36}\text{O}_5$	73,98	8,43
(IVa)	0,32	–	2,2	63,66	8,00	$\text{C}_{14}\text{H}_{20}\text{O}_3$	63,86	8,53

Таблица 4

Физико-химические характеристики продуктов окислительной трансформации  $\alpha$ -токоферола

Соединение	$T_{\text{CH}}$ $R_f$ (B)	ВЭЖХ (B) $t_{\text{отн.}}$ мин	Найдено, %		Брутто- формула	Вычислено, %	
			C	H		C	H
(Iб)	0,80	9,6	84,31	11,20	$\text{C}_{58}\text{H}_{86}\text{O}_4$	84,24	11,29
(IIб)	0,25	8,0	79,50	11,31	$\text{C}_{58}\text{H}_{86}\text{O}_5$	79,58	11,28
(IVб)	0,23	12,0	77,92	11,25	$\text{C}_{29}\text{H}_{50}\text{O}_3$	77,96	11,28
(Vб)	0,86	5,4	81,53	11,56	$\text{C}_{29}\text{H}_{48}\text{O}_2$	81,25	11,29

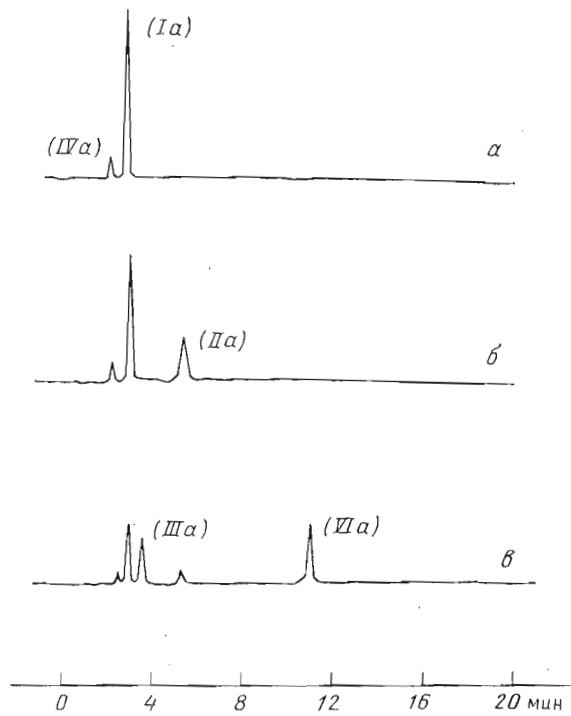


Рис. 1. ВЭЖХ продуктов окислительной трансформации хромана С<sub>1</sub> (Iа), образующихся при автоокислении его 12 мМ раствора в этиллиноволеате. Колонка Ultrasphere ODS; элюент — метанол; 1 мл/мин. Для всех рисунков время окисления 3 (а), 10 (б), 40 сут (в); детектирование — по поглощению при 290 нм

ние их физико-химических характеристик с соединениями (IIа — IVа) и (IIб — IVб) подтвердило это предположение.

Следует отметить, что относительное содержание димеров (IIа, б) и (IIIа, б), хинонов (IVа, б) и (Vб) в реакционной массе (окисляющемся этиллиноволеате) зависит от времени окисления. Было показано, что на первой стадии процесса окисления, соответствующей интенсивному накоплению гидропероксидов этиллиноволеата (до 3 сут) (рис. 1а и 2а), наблюдается преимущественное образование хинонов (IVа, б) и (Vб), а на второй стадии (до 10 сут) по мере разложения гидропероксидов на вторичные продукты происходит накопление димерных хроманов (IIа, б) и (IIIа, б) с преобладанием в реакционных смесях спиродимеров (IIа, б) (рис. 1б, 2б). При дальнейшем развитии процесса окисления (до 40 сут) количество спиродимеров падает, а димеров (IIIа, б) возрастает и образуются тримеры (VIа, б) (рис. 1в, 2в). Идентификация соединений (VIа, б) проводилась после их выделения из окисленных реакционных смесей (40 сут) промышленной ВЭЖХ. Сравнение характеристик выделенных соединений с литературными данными [3] подтвердило их структуру.

Наряду с этим было проведено сравнительное изучение составов продуктов окисления хромана С<sub>1</sub> (Iа) и  $\alpha$ -токоферола (Iб) в этиллиноволеате (рис. 1 и 2) и в среде инертного растворителя (нонана) (рис. 3 и 4). При окислении кислородом воздуха 5% растворов соединений (Iа) и (Iб) в ноане в темноте при 50° С на 3-и — 10-е сут наблюдалось образование продуктов димеризации, однако при этом в реакционных массах отсутствовали хиноны соответствующих хроманов.

Для объяснения различия продуктов окислительной трансформации  $\alpha$ -токоферола, образующихся в среде окисляющегося субстрата (этиллино-

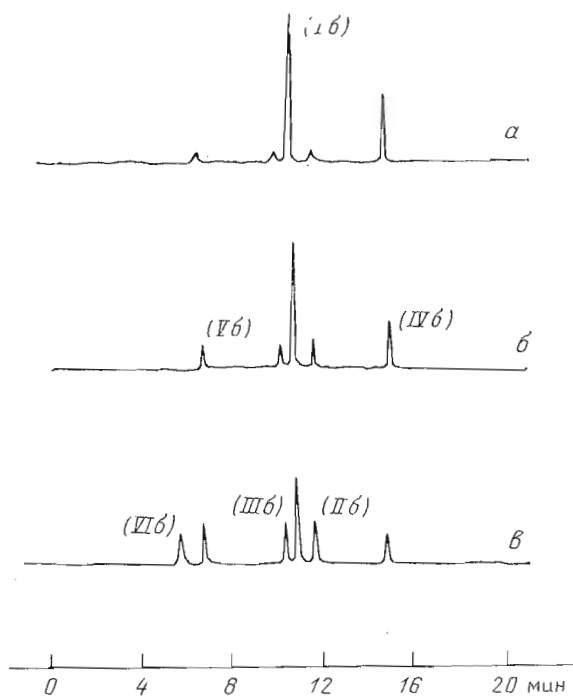


Рис. 2. ВЭЖХ продуктов окислительной трансформации  $\alpha$ -токоферола (I $\beta$ ), образующихся при автоокислении его 12 мМ раствора в этиллиномоноле. Колонка Ultrasphere Si; элюент — тексан — хлороформ — изопропанол, 96 : 4,5 : 0,5; 0,5 мл/мин

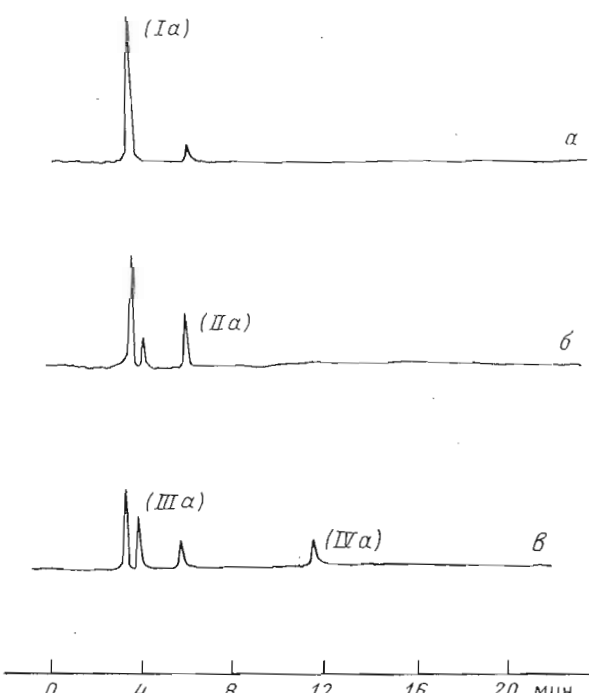


Рис. 3. ВЭЖХ продуктов окислительной трансформации хромана С $\alpha$  (I $\alpha$ ) кислородом воздуха при 50°С в среде ионана (0,25 М). Колонка Ultrasphere ODS; элюент — метапол; 1 мл/мин

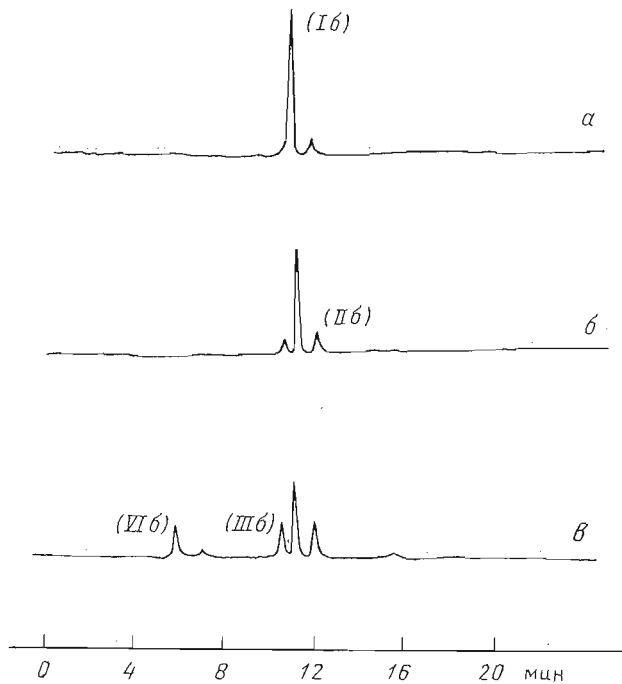


Рис. 4. ВЭЖХ продуктов окислительной трансформации  $\alpha$ -токоферола (Iб) кислородом воздуха при 50° С в среде ионана (0,25 М). Колонка Ultrasphere Si; элюент — гексан — хлороформ — изопропанол, 96 : 4,5 : 0,5, 0,5 мл/мин

леата) и в неполярном растворителе (ионане), можно предложить схему 3. При взаимодействии с кислородом воздуха и субстратом перекисного окисления липидов происходит процесс последовательного двухэлектронного окисления  $\alpha$ -токоферола (Iб), который, по-видимому, реализуется по радикальному механизму. Основным стабильным продуктом такого окисления является  $\alpha$ -токоферилхинон (IVб). Образование димерных и тримерных соединений (IIб, VIб), по-видимому, обусловлено взаимодействием бирадикальных изомеров (VII) и (VIII) друг с другом, подразумевающим их пространственное сближение. В неполярной среде (ионане) отсутствуют затруднения для такого взаимодействия, и в эксперименте наблюдалось быстрое накопление олигомерных соединений. При совместном же окислении с этиллинолеатом бирадикальные формы молекул  $\alpha$ -токоферола, вероятно, экранированы друг от друга молекулами эфира жирной кислоты, поэтому на первом этапе основным продуктом является  $\alpha$ -токоферилхинон (путь А). По мере разложения гидропероксидов степень экранирования, по-видимому, уменьшается, и начинает реализовываться путь Б, т. е. путь образования димеров и тримеров.

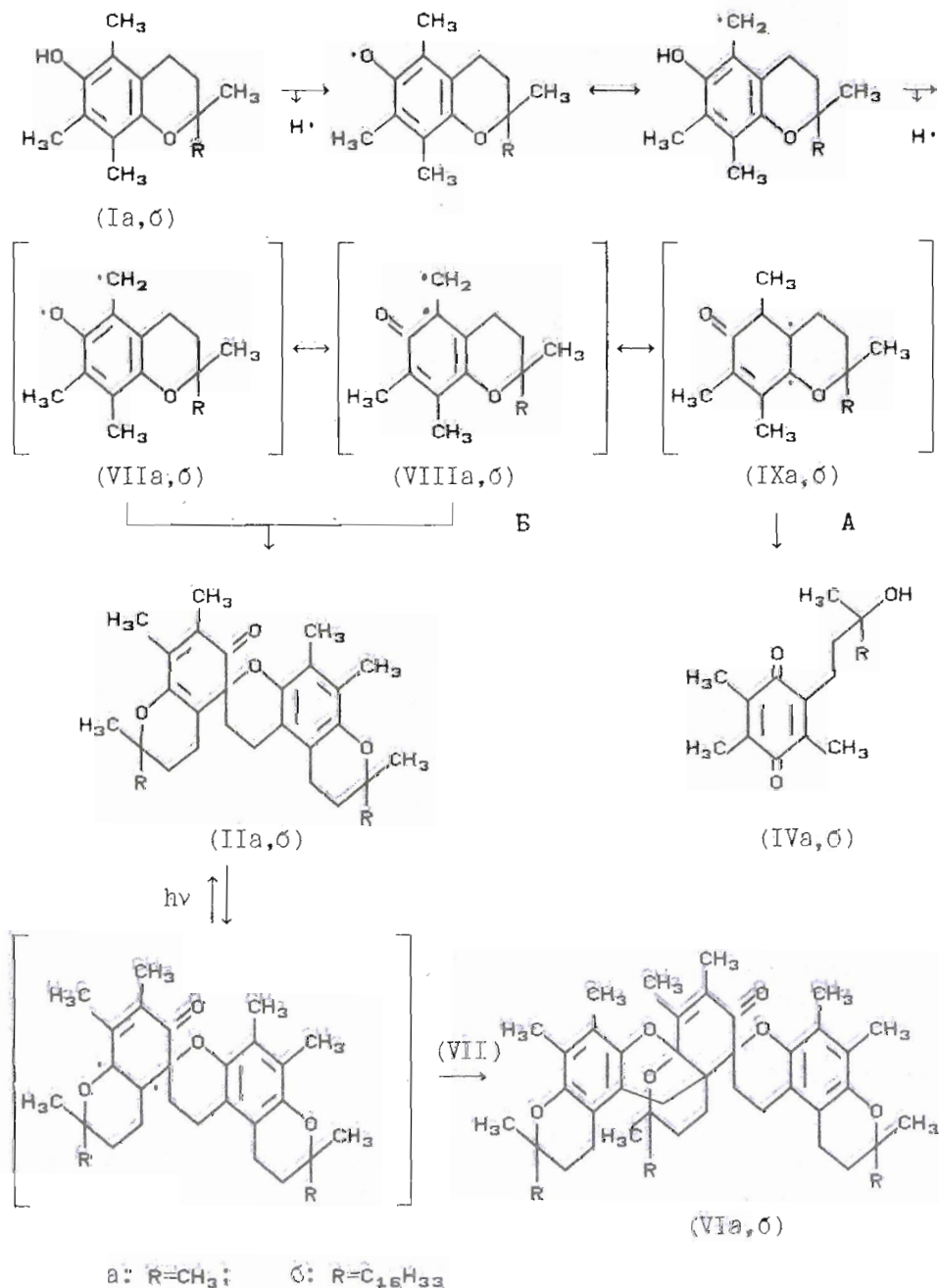
### Экспериментальная часть

При ТСХ на пластинках Silufol UV-254 (ЧСФР) и ВЭЖХ использовали системы: гексан — ацетон, 5 : 1 (А), гексан — ацетон, 10 : 1 (Б), метанол (В), гексан — хлороформ — изопропанол, 96 : 4,5 : 0,5 (Г).

Колоночную хроматографию проводили на силикагеле L 40/100 мкм (ЧСФР) в системах: гексан — эфир, 25 : 1 (Д), хлороформ (Е), гексан — эфир, 20 : 1 (Ж), гексан — эфир, 10 : 1 (З), гексан — ацетон, 97 : 3 (И).

ИК-спектры сняты на спектрофотометре Shimadzu IR-435 (Япония)

Схема 3



в тонкой пленке или пасте с вазелиновым маслом, УФ-спектры — на спектрофотометре Shimadzu UV-240 (Япония) в области 190–350 нм в метаноле. Спектры  $^1\text{H}$ -ЯМР записаны на спектрометре Bruker WM-250 (ФРГ) на рабочей частоте 250 МГц в дейтерохлороформе; внутренний стандарт — гексаметилдисилазан. ВЭЖХ-анализ проводили на жидкостном хроматографе Kovo (ЧСФР), снабженном УФ-детектором LCD 2563 (ГДР, 290 нм), рефрактометрическим детектором RIDK 101 (Kovo, ЧСФР), инжектором Rheodyne 7125 (США, петля 20 мкл) и колонками Ultrasphere (4×250 мм, 5 мкм; Altex, США). Режим анализа изократический. Препаративную ВЭЖХ проводили на колонке Силасорб С<sub>1</sub> (10×250 мм, 5 мкм).

В работе использовали  $\alpha$ -токоферол и хроман С<sub>1</sub>, полученные по методике [4], с содержанием 99,5% (по данным ГЖХ).

**Спиродимер хромана С<sub>1</sub> (IIa).** К раствору 0,55 г (2,5 ммоль) хромана С<sub>1</sub> (Ia) в 25 мл гексана добавляли раствор 1,50 г феррициапида калия в 25 мл 10% водного KOH, смесь перемешивали 30 мин при 18–20° С, органический слой отделяли, промывали водой (4×20 мл), сушили сульфатом натрия, растворитель упаривали. Остаток перекристаллизовывали из 70% метанола и получали 0,33 г (60%) спиродимера (IIa) (см. табл. 1 и 3).

**Спиродимер  $\alpha$ -токоферола (IIb)** получали по той же методике из 1,10 г (2,5 ммоль)  $\alpha$ -токоферола (Ib) и 3,00 г феррицианида калия в течение 1 ч. Продукт очищали колоночной хроматографией на силикагеле L 40/100 мкм, элюируя системой Д. Выход 0,72 г (68%) спиродимера (IIb) (см. табл. 2 и 4).

**Димер хромана С<sub>1</sub> (IIIa).** К раствору 0,22 г (0,5 ммоль) спиродимера хромана С<sub>1</sub> (IIa) в 20 мл этанола прибавляли раствор 8 мл конц. HCl в 10 мл этанола, смесь перемешивали 1 ч при 40° С, прибавляли 50 мл гексана и 50 мл воды. Органический слой отделяли, промывали водой (3×50 мл) до pH 7, сушили сульфатом натрия и растворитель упаривали. Остаток перекристаллизовывали из 70% метанола. Получали 0,15 г (68%) димера (IIIa) (см. табл. 1 и 3).

**Димер  $\alpha$ -токоферола (IIIb)** получали по методике, аналогичной предыдущей, исходя из 0,43 г (0,5 ммоль) спиродимера  $\alpha$ -токоферола (IIb) при 40° С в течение 30 мин. Димер  $\alpha$ -токоферола (IIIb) очищали колоночной хроматографией в системе Е. Выход 0,28 г (65%) (см. также табл. 2 и 4).

**2-(3-Гидрокси-3-метилбутил)-3,5,6 - триметилбензохинон - 1,4 (IVa).** Раствор 0,55 г (2,5 ммоль) хромана С<sub>1</sub> (Ia) и 5,00 г хлорного железа в 100 мл метанола перемешивали 0,5 ч при 18–20° С. К смеси добавляли 100 мл гексана и 50 мл воды. Органический слой отделяли, промывали водой (3×50 мл), сушили сульфатом натрия, упаривали. Колоночной хроматографией в системе Ж выделяли 0,50 г (90%) хинона (IVa) (см. также табл. 1 и 3).

**$\alpha$ -Токоферилхинон (IVb)** получали по аналогичной методике из 1,10 г (2,5 ммоль)  $\alpha$ -токоферола (Ib) и 5,00 г FeCl<sub>3</sub>. Выход 1,0 г (92%) (см. также табл. 2 и 4).

**2-(3,7,11,15 - Тетраметил - 2 - гексадецен-1-ил)-3,5,6-триметилбензохинон-1,4 (Vb).** Смесь 0,50 г (1,1 ммоль)  $\alpha$ -токоферилхинона (IVb) и 0,30 г (2,2 ммоль) хлорида цинка в 20 мл толуола кипятили 3 ч, медленно отгоняя воду с парами растворителя. Смесь охлаждали до 20° С, промывали 5% HCl (3×20 мл), водой (3×20 мл) до pH 7 и сушили сульфатом натрия. Из остатка колоночной хроматографией, элюируя системой З, выделяли 0,35 г (70%) соединения (Vb) (см. также табл. 2 и 4).

**Окисление хромана С<sub>1</sub> (Ia) и  $\alpha$ -токоферола (Ib) кислородом воздуха в среде пирана** проводили в двух пробирках емкостью 20 мл, каждая из которых содержала по 0,5 г хромана С<sub>1</sub> (Ia) или  $\alpha$ -токоферола (Ib) и по 13,2 мл пирана. Воздух барботировали со скоростью 100 мл/мин при 50° С.

в темноте. В течение 1–40 сут периодически контролировали состав реакционной массы (ВЭЖХ) (см. рис. 3 и 4).

Выделение продуктов окислительной трансформации хромана C<sub>1</sub>, 1,00 г реакционной массы, полученной окислением этиллиноолеата в присутствии 12 мМ хромана C<sub>1</sub> (Ia) [2], разделяли колоночной хроматографией в системе И. Получали фракции: 1) 0,1 г, R<sub>f</sub> 0–0,3 (A); 2) 0,15 г, R<sub>f</sub> 0,3–0,7 (A); 3) 0,65 г, R<sub>f</sub> 0,75–1,0 (A).

0,15 г фракции 2 разделяли препаративной ВЭЖХ, элюируя системой В. Получали 8 мг спиродимера хромана C<sub>1</sub> (IIa), 0,01 г димера хромана C<sub>1</sub> (IIIa) и 0,12 г хинона хромана C<sub>1</sub> (IVa), спектральные и физико-химические характеристики которых полностью совпали с характеристиками синтезированных соединений (см. табл. 1 и 3).

Выделение продуктов окислительной трансформации  $\alpha$ -токоферола. 1,00 г реакционной массы, полученной окислением этиллиноолеата в присутствии 12 мМ  $\alpha$ -токоферола (Ib) [2], разделяли колоночной хроматографией в системе И. Получали фракции: 1) 0,1 г, R<sub>f</sub> 0–0,3 (B); 2) 75 мг, R<sub>f</sub> 0,3–0,7 (B); 3) 0,75 г, R<sub>f</sub> 0,7–1,0 (B).

Полученные фракции разделяли препаративной ВЭЖХ, элюируя системой Г. Получали 9 мг спиродимера  $\alpha$ -токоферола (IIb) и 15 мг димера  $\alpha$ -токоферола (IIIb) и 10 мг  $\alpha$ -токоферилхинона (IVb), спектральные и физико-химические характеристики которых полностью совпадали с характеристиками синтезированных соединений (см. табл. 2 и 4).

#### СПИСОК ЛИТЕРАТУРЫ

1. Csallany A. S., Chiu M., Drapper H. H. // Lipids. 1970. V. 5. № 1. P. 63–70.
2. Захарова Е. И., Алексеев С. М., Евстигнеева Р. П. // Биоорган. химия. 1989. Т. 15. № 9. С. 1268–1273.
3. Березовский В. М. Химия витаминов. М.: Издательство пром-сть. 1973. С. 258.
4. Щеголев А. А., Сарычева И. К., Евстигнеева Р. П. Синтез  $\alpha$ -токоферола в присутствии цеолитсодержащих алюмосиликатов. М. 1982. 5с.– Деп. в ВИНТИ 7.09.82. № 4779–4782.

Поступила в редакцию  
4.XII.1991

E. I. ZAKHAROVA, K. A.-V. SHUAIPOV, V. V. CHUDINOVA, S. M. ALEKSEEV,  
R. P. EVSTIGNEEVA

#### TRANSFORMATION PRODUCTS OF VITAMIN E AND ITS ANALOGUE CHROMAN C<sub>1</sub> FORMED IN THE MEDIUM OF OXIDIZING ETHYLLINOLEATE

Moscow M. V. Lomonosov Institute of Fine Chemical Technology, Moscow

Spirodimers, dimers, quinones of  $\alpha$ -tocopherol and chroman C<sub>1</sub> have been synthesized by the  $\alpha$ -tocopherol and chroman C<sub>1</sub> oxidation with K<sub>3</sub>[Fe(CN)<sub>6</sub>] and FeCl<sub>3</sub>. Products of the oxidative transformation of  $\alpha$ -tocopherol and chroman C<sub>1</sub>, viz. dimers, quinones and trimers, in the media of ethyllinoleate and nonane have been identified by HPLC, TLC, UV, IR and <sup>1</sup>H NMR spectroscopy. The mechanism of the transformation and modifying activity of chromans under various oxidation conditions are discussed with regards to the experimental data.